

بررسی تأثیر پارامترهای کشنشی بر روی تنش ایجاد شده زیر چرخ محرک تراکتور با استفاده از تنش سنج و آزمونگر تک چرخ در انبارهای خاک

حمید تقیوی فر^{۱*}، عارف مردانی^۲

۱-دانشجوی دکتری مهندسی مکانیک بیوسیستم، دانشگاه ارومیه، hamid.taghavifar@gmail.com

۲-استادیار گروه مهندسی مکانیک بیوسیستم، دانشگاه ارومیه

چکیده

در تحقیق حاضر اثر کشنش خالص چرخ محرک بر روی تنش عمودی ایجاد شده زیر چرخ مورد مطالعه قرار گرفت. از این روش سرعت پیشروی در سه سطح $0/8$ ، 1 و $1/2$ متر بر ثانیه، بار عمودی روی چرخ محرک ۲۱/۶۵R220 در سه سطح 2 ، 3 و 4 کیلونیوتون و لغزش در سه سطح 8 و 12 و 15 درصد مورد استفاده قرار گرفتند تا مقدار نیروی کشنش و تنش عمودی در سه عمق $0/1$ ، $0/15$ و $0/20$ متری اندازه‌گیری شوند. آزمون‌ها در طرح بلوک‌های کاملاً تصادفی بر روی خاک رسی‌لومی با رطوبت 12% با سه تکرار انجام شدند. تنش عمودی از طریق یک سامانه‌ی ساخته شده تنش سنج و نیروی کشنشی نیز از طریق 4 عدد لودسل افقی نصب شده بین چرخ و کشنده چرخ اندازه‌گیری شدند. بررسی‌های انجام شده در سطح آماری 1% نشان دادند که نیروی کشنشی باعث افزایش تنش عمودی زیر چرخ می‌گردد و بیشترین تنش عمودی زیر چرخ با مقدار 78 کیلوپاسکال در عمق $0/1$ متر مربوط به کشنش بیشینه‌ی خالص حاصل شده تحت تأثیر بار 4 کیلونیوتون، لغزش 15 درصد و سرعت $0/8$ متر بر ثانیه می‌باشد.

واژگان کلیدی: انبارهای خاک، تنش عمودی، چرخ محرک، کشنش خالص، لغزش

مقدمه

پارامترهای کشنشی چرخ محرک از مهمترین شاخص‌های ارزیابی کیفیت عملکردی تراکتورهای کشاورزی محسوب می‌شوند. بازده کشنشی بالا به منظور بهره‌وری اقتصادی در کاهش مصرف سوخت مد نظر طراحان ماشین‌های کشاورزی می‌باشد. در اثر تقابل چرخ و خاک تغییراتی نیز در ساختار فیزیکی و مکانیکی خاک بوجود می‌آید که به فشردگی خاک منتج می‌شود و باعث کاهش چشمگیر تولید محصول در مزرعه می‌شود. از مولفه‌های موثر در ایجاد فشردگی خاک، تنش‌های ایجاد شده به وسیله‌ی تردد ماشین‌های کشاورزی و نیروهای واردہ بر خاک می‌باشند. در حالیکه افزایش بازده کشنشی ماشین‌های کشاورزی مطلوب می‌باشد، در عین حال کاهش حدالامکان تنش‌های ایجاد شده در خاک نیز باید در نظر گرفته شود و مصالحه‌ای بین یک عامل مطلوب و نامطلوب صورت پذیرد.

تحقیقات بسیاری در گذشته برای ذخیره‌ی داده‌های تنش و کرنش در اثر تردد ماشین‌های کشاورزی و خارج جاده‌ای و مرتبط کردن این پدیده‌ها با فشردگی خاک انجام شده‌اند. مشخص شده است که برای کاهش فشردگی خاک در سطح و عمق خاک باید تنش در سطح خاک کاهش یابد. چرخ به دلیل نقش اساسی آن در ارتباط ماشین با خاک، از عوامل مهم تأثیرگذار بر ایجاد تنش در سطح تماس ماشین با خاک می‌باشد. از این‌رو پارامترهای چرخ از جمله وزن روی چرخ، سرعت حرکت، فشار باد و لغزش چرخ مورد توجه محققین در این حوزه بوده است. از طرف دیگر چرخ در معرض تمامی نیروها و گشتاورهای تأثیرگذار بر حرکت ماشین می‌باشد و دینامیک ماشین به صورت قابل ملاحظه‌ای متأثر از نیروها و گشتاورهای وارد به چرخ می‌باشد. علاوه بر این، چرخ در حرکت، فرمان پذیری و بازده کشنشی ماشین نیز نقشی اساسی دارد. مورد اخیر، بازده کشنشی، مهمترین فاکتور بررسی بازده تراکتور کشاورزی می‌باشد.

در تحقیقی توسط محمدزاده و همکاران (Mohammadzadeh et al., 2013) تأثیر فشار باد، بار روی چرخ و هندسه مانع بر روی نیروی مقاومت غلتشی درون انباره خاک بررسی شد و گزارش گردید که نیروی کشنشی لازم برای گذراندن مانع به صورت خطی، با افزایش سرعت پیشروی و ارتفاع مانع بیشتر می‌گردد. همچنین بری کوتارماش (Coutermash, 2007) اثر سرعت‌های متفاوت در محدوده‌ی بین ۲/۱ تا ۴/۶ متر بر ثانیه را بر روی مقاومت غلتشی در سه بار اعمالی روی چرخ در خاک شنی خشک مورد تحقیق قرار داد. در آزمایش‌های این محقق از یک آزمونگر که به پشت یک تریلر متصل شده بود استفاده شد. تحقیقات وی حاکی از افزایش ابتدایی و کاهش قابل توجه ضریب کشنش موجود در اکسل با افزایش سرعت می‌باشد. برای محاسبه‌ی تنش‌های ایجاد شده در خاک و فشردگی متعاقب آن تحقیقات گسترشده‌ای انجام شده‌اند.

شریفی و همکاران (Sharifi et al., 2013) تأثیر بار و فشار باد بر برخی عوامل مرتبط با فشردگی خاک به عنوان محصول تنش های ایجاد شده در خاک از جمله عمق و اثر چرخ، شاخص مخروط و شاخص مقاومت افقی خاک در لایه‌های مختلف توسط یک حسگر اندازه گیر پروفیل فشردگی خاک در انباره خاک با بافت لوم شنی اندازه گیری شد و نتایج نشان داد فشردگی خاک ناشی از میزان بار عمودی وارد بر لاستیک در لایه‌های زیرین بیشتر از لایه‌های سطحی خاک بود. نگوین و همکاران (Nguyen et al., 2008) تنش عمودی زیر چرخ‌های محرک را با استفاده از کرنش سنج‌های نصب شده در زیر اکسل چرخ‌های عقب تراکتور محاسبه کردند. آزمایش آن‌ها در حالت ثابت بودن تراکتور و ترکیب‌هایی از فشار باد و وزن روی چرخ متفاوت انجام شد. تنش‌های محاسبه شده در این آزمایش، تنش‌های عمودی و مماسی در محل تماس چرخ با خاک را نیز شامل بود. توماس کلر (Keller, 2005) به بررسی مدلی برای پیش‌بینی اندازه‌ی سطح تماس و پخش شدگی تنش در زیر چرخ در اثر پارامترهای چرخ پرداخت و این کار را برای ۲۹ ترکیب مختلف از بار چرخ و خواص چرخ انجام داد و سطح تماس و تنش عمودی توزیع شده زیر چرخ را اندازه‌گیری کرد. بر اساس نتایج بدست آمده ویژگی‌های سطح تماس و تنش توزیع شده به عوامل مختلفی از جمله پارامترهای چرخ، بار اسمی روی چرخ، فشار باد، عرض و قطر چرخ بستگی دارد و همچنین نتیجه گرفت که، توزیع طولی تنش عمودی بوسیله‌ی یکتابع توانی و توزیع عرضی تنش عمودی بوسیله‌ی یکتابع زوال تعریف می‌شود. لودسل‌های فشاری به تعداد ۵ عدد

ابتدا در محفظه هایی با ابعاد نشان داده شده در شکل قرار گرفتند و تا نصف رد چرخ در جهت عمود بر حرکت در عمق ۰/۱ متری خاک دفن شدند به نحوی که یکی در مرکز رد چرخ و یکی در لبه چرخ و سه لودل دیگر به فواصل مساوی در بین آنها قرار گرفتند. در تحقیق دیگری که توسط پیتکا و همکارانش (Pytka et al., 2006) انجام شد، اثر فشار باد و بار روی چرخ بر روی مقاومت غلتی و تنفس به صورت جداگانه و بدون در نظر گرفتن بر هم کنش این دو پارامتر مهم صورت گرفت و گزارش شد که افزایش بار و کاهش فشار باد باعث بهبود کشش می گردد.

بررسی منابع مشخص کرد که مطالعات مختلفی در حوزه ارزیابی پارامترهای کششی در آزمون های مزرعه ای و یا شرایط آزمایشگاهی با رویکرد افزایش بازده کششی تراکتورها انجام شده است. مطالعات مرتبط با مقاومت مکانیکی خاک نیز به بررسی فاکتورهای موثر در کاهش مقدار تنفس در خاک پرداخته اند تا مقدار فشردگی حاصل از انتشار تنفس در خاک را کاهش دهند. تمرکز تحقیق حاضر با درنظر گرفتن پارامترهای بار، سرعت و لغزش قابل تنظیم که دارای مکانیزمی نوین در سیستم مورد استفاده است، بررسی نقش پارامترهای کششی در ایجاد تنفس عمودی در پروفیل خاک در محیط کنترل شده آزمایشگاهی می باشد.

مواد و روش‌ها

انباره خاک موجود در گروه مهندسی مکانیک ماشین های کشاورزی دانشگاه ارومیه کهدر این تحقیقات استفاده شد، در جهت طولی ۲۴ متر، عرض کanal تا ۲ متر و عمق ۱ متری بود و شرایط مناسب برای آزمایشات با حذف اثرات مرزی را فراهم کرد. از مکانیزم انتقال توان زنجیری به دلیل توانایی بهتر انقال توان برای حرکت حامل مجموعه ای حاضر استفاده شد. همانطور که در شکل ۱ مشخص است، حرکت حامل بر روی ریل از طریق زنجیر به واسطه ای چهار بلبرینگ^۱ چرخی انجام می شود که البته وظیفه حمل بار حامل را نیز بر عهده دارد. شاسی حامل از دو قسمت تشکیل شده است که قسمت اول وظیفه حمل وزن حامل را دارد و بلبرینگ های چرخی متصل به آن قابلیت حرکت مجموعه ای حامل را درون ریل مهیا می کند. خاک پس از هر آزمایش به منظور انجام آزمون بعدی فرآوری و آماده شد.

^۱Ball bearing



شکل ۱- شماتیکی از مجموعه‌ی انباره‌ی خاک و آزمونگر تک چرخ مورد استفاده در آزمایشات

از یک الکتروموتور سه فاز با توان ۲۲ کیلووات که در یک انتهای انباره‌ی خاک قرار داشت استفاده شد. از یک اینورتور^۱ مدل SV 220 IS5-2NO، 380V برای کنترل الکتروموتور استفاده شد که با تغییر ترکیب ولتاژ- فرکانس تقدیمه‌ی الکتروموتور میزان دور آن را به صورت پیوسته و در تعداد سطوح مختلف فراهم می‌آورد که در نتیجه فرآیندهای راه اندازی، متوقف سازی و نیز جهت چرخش الکتروموتور قابل کنترل گشته و سطوح مختلف سرعت برای حامل قابل دسترسی می‌باشد. در این تحقیق چرخ‌محرك 21R20/65 محور استفاده قرار گرفت. یک پیچ قدرت^۲ از قسمت بالا به شافتی که به صورت عرضی به قسمت قابل لولاشدن حامل وصل است متصل گردید و از قسمت پایین به یک لودسل به ظرفیت ۲۰۰۰ کیلوگرمی مدل Bongshin به صورت سری متصل شد. لودسل مذکور نیز از قسمت پایین به شاسی چرخ متصل گردید. برای ایجاد نیروی کششی در چرخ محرک مورد ارزیابی، یک الکتروموتور با توان ۵/۵ کیلوواتو یک جعبه دنده با نسبت کاهندگی ۱ به ۷/۵ استفاده شد(شکل ۱). برای کنترل سرعت دورانی خروجی الکتروموتور محرك چرخ نیز از یک عدد اینورتر ۵/۵ کیلووات با نام تجاری LS ساخت شرکت LG استفاده شد. با توجه به سامانه‌های در نظر گرفته شده برای سرعت حامل و آزمونگر، لغزش چرخ به عنوان یکی از پارامترهای مورد نظر برای بررسی اثر ایجاد شده در سطوح مختلف لغزش بر تنش‌های عمودی در خاک در نظر گرفته شد. به منظور دستیابی به سطوح مطلوب از لغزش از سرعت‌های خطی خروجی از الکتروموتور های در نظر گرفته شده برای حامل و آزمونگر و اختلاف سرعت‌های خطی بین آنها استفاده گردید. اندازه‌گیری تنش‌های عمودی با استفاده از یک سامانه‌ی مجهر به لودسل و نمایشگر و نیز دیتالاگر برای ثبت داده‌های بدست آمده انجام گرفت. شاسی سیستم از یک محفظه‌ی تو خالی با مقطع مربعی شکل شامل چهار عدد لودسل کیلوگرمی که با فواصل ۱۲/۵ سانتی‌متری از یکدیگر قرار داشتند استفاده شد. قسمت فوقانی این محفظه مشکل از

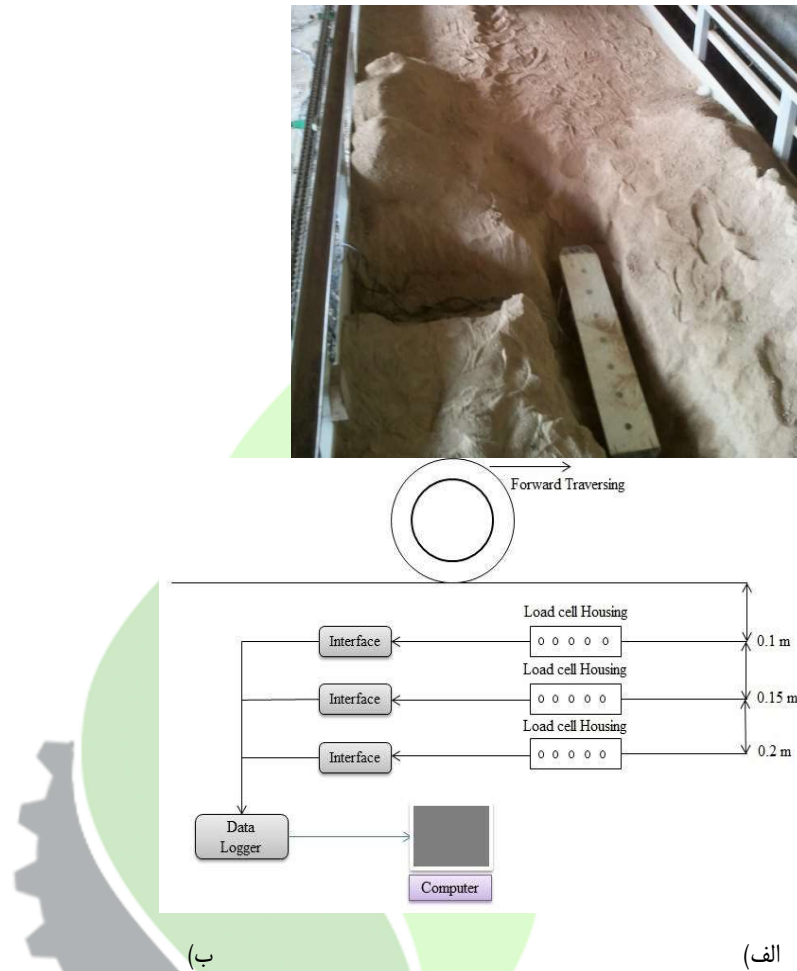
¹ Invertor

² Power bolt

یک پوشش از جنس MDF با سوراخ‌کاری‌های تعبیه شده برای جاسازی ابزارهای تنش سنجی بود. لودسل‌های مذکور از یک سو به سوپاپ‌های اندازه‌گیر تنش و از سوی دیگر به کف پروفیل با پیچ نصب شدند. قبل از نصب لودسل‌ها، کالیبراسیون لودسل‌ها انجام گرفت. در این سیستم از یک پروفیل با ابعاد استاندارد مقطع 12×0.12 متر به عنوان شاسی استفاده شد. تعداد ۴ عدد لودسل با ظرفیت ۲۰۰ کیلوگرمی به صورت طولی در خط مرکزی شاسی تنش سنج نصب شدند. به منظور جلوگیری از هر گونه انحراف جانبی سوپاپ و حرکت در راستای قائم، سر سوپاپ از داخل یک صفحه از جنس MDF به ضخامت ۱۰ میلی‌متر عبور داده شده است. سر دیگر لودسل‌ها با یک عدد پیچ M8 به صفحه مقابل پروفیل محکم شده است. شکل‌های ۲ و ۳ به ترتیب سامانه‌ی تنش سنج مورد استفاده و نحوه‌ی قرارگیری تنش زیر چرخ محرک با درپوش از جنس MDF با سوراخ‌کاری‌های مورد نیاز برای نصب لودسل



شکل ۲- سامانه‌ی اندازه‌گیری تنش زیر چرخ محرک با درپوش از جنس MDF با سوراخ‌کاری‌های مورد نیاز برای نصب لودسل



شکل ۳-الف) نحوه قرار گیری پروفیل تنش سنج در راستای مسیر حرکت چرخ محرک و ب) اشماتیک سیستم اندازهگیری تنش

زیر چرخ در عمق‌های مختلف

اندازهگیری‌هایی که در تحقیق حاضر توسط لودسل‌های S شکل انجام می‌شدند باید برای تحلیل و ارزیابی ثبت و ذخیره سازی می‌شدند. هر یک از لودسل‌های مربوط به سامانه‌ی تنش سنجی به صورت مستقیم به یک نمایشگر Bongshin متصل شدند. به همین ترتیب لودسل‌های موجود در پروفیل تنش سنج نیز به صورت مجزا هر یک به یک عدد از نمایشگرهای دیجیتالی متصل شدند در حالی که یک عدد نمایشگر هم برای اندازهگیری بارهای دینامیکی متغیر ایجاد شده در حال حرکت اختصاص یافت. داده‌ها از طریق دیتالاگر به کامپیوتر انتقال یافته‌اند. این تحقیق در قالب رابطه‌ی بین کشش چرخ محرک و تنش عمودی ایجاد شده زیر چرخ در اثر پارامترهای بار عمودی روی چرخ در سه سطح (۲، ۳ و ۴ کیلونیوتن)، سرعت پیشروی در سه سطح (۰/۸، ۰/۱ و ۰/۲ متر بر ثانیه)، لغزش در سه سطح (۸/۱۲ و ۱۵/۱۰ درصد) و عمق‌های مختلف (۰/۰، ۰/۱۵ و ۰/۲۰ متر) در قالب بلوك‌های کاملاً تصادفی مورد آزمایش و بررسی قرار گرفت. داده‌های مربوط به تکرارهای تیمارها میانگین گیری شدند و مورد استفاده قرار گرفتند. از نرم افزار SAS (Statistical Analysis System) برای تجزیه و تحلیل آماری در سطح آماری ۱٪ استفاده شد.

نتایج و بحث

به دلیل این که سطوح مختلف پارامتر عمق مستقل از یکدیگر نمی‌باشند، نتایج تحلیل کوواریانس بین نیروی کششی و تنفس عمودی در سه بازه‌ی ۰/۰-۰/۱۵ متری، ۰/۱۵-۰/۲۰ متری و ۰/۲۰-۰/۲۵ متری در جداول ۱، ۲ و ۳ ارائه شده‌اند. تاثیر سرعت در تنفس نیز در عمق ۰/۰ متری در سطح آماری ۱٪ و در عمق‌های بیشتر در سطح آماری ۵٪ معنی‌دار می‌باشد. تاثیر بار روی چرخ و لغش بر روی تنفس در هر سه عمق مورد آزمایش در سطح آماری ۱٪ معنی‌دار می‌باشند. اثرات متقابل دوگانه پارامترهای ورودی در جداول ۱، ۲ و ۳ نیز در سطح ۱٪ معنی‌دار می‌باشند. همچنین تاثیر متقابل سه‌گانه‌ی سرعت×لغش×بار روی چرخ نیز در هر سه سطح عمق در سطح آماری ۵٪ معنی‌دار می‌باشد.

ضریب تبیین اصلاح شده برای کوواریانس‌های مربوط به جداول ۱، ۲ و ۳ به ترتیب ۰/۹۹۱، ۰/۹۸۷ و ۰/۹۹ می‌باشند.

جدول ۱- تحلیل کوواریانس تنش عمودی با کشش چخ در عمق ۰-۱۰ متری

| منبع تغییر | مجموع مربعات | درجه آزادی | میانگین مربعات | P-value |
|--------------------------------|----------------|-------------------|----------------|------------|
| Source of variation | Sum of squares | Degree of freedom | Mean Squares | |
| بار | 1129.158 | 2 | 564.579 | 109.378** |
| Wheel load | | | | |
| سرعت | 11042.660 | 2 | 5521.330 | 1069.669** |
| Velocity | | | | |
| لغزش | 15250.667 | 2 | 7625.334 | 1477.286** |
| Slippage | | | | |
| بار×سرعت | 146.827 | 4 | 36.707 | 7.111** |
| Velocity× Wheel load | | | | |
| بار×لغزش | 348.153 | 4 | 87.038 | 16.862** |
| Wheel load×Slippage | | | | |
| سرعت×لغزش | 1526.702 | 4 | 381.675 | 73.944** |
| Velocity× Slippage | | | | |
| بار×سرعت×لغزش | 210.744 | 8 | 26.343 | 5.104** |
| Wheel load× Slippage× Velocity | | | | |
| خطا | 273.571 | 53 | 5.162 | |
| Error | | | | |
| کل | 198180.828 | 81 | | |
| Total | | | | |

ضریب تبیین تصحیح شده= 0.991

* معنی داری در سطح ۱ درصد

جدول ۲- تحلیل کوواریانس تنش عمودی با کشش چرخ در عمق ۰/۱۵-۰/۱۰ متری

| منبع تغییر | مجموع مربعات | درجه آزادی | میانگین مربعات | P-value |
|--------------------------------|----------------|-------------------|----------------|------------|
| Source of variation | Sum of squares | Degree of freedom | Mean Squares | |
| سرعت | 6972.200 | 2 | 3486.100 | 718.765* |
| Velocity | | | | |
| بار | 930.396 | 2 | 465.198 | 95.915** |
| Wheel load | | | | |
| لغزش | 10126.713 | 2 | 5063.357 | 1043.965** |
| Slippage | | | | |
| بار×سرعت | 146.429 | 4 | 36.607 | 7.548** |
| Velocity× Wheel load | | | | |
| سرعت× لغزش | 1714.454 | 4 | 428.614 | 88.372** |
| Velocity× Slippage | | | | |
| بار×لغزش | 533.880 | 4 | 133.470 | 27.519** |
| Wheel load×Slippage | | | | |
| بار×سرعت×لغزش | 183.133 | 8 | 22.892 | 4.720** |
| Wheel load× Slippage× Velocity | | | | |
| خطا | 257.056 | 53 | 4.850 | |
| Error | | | | |
| کل | 107355.218 | 81 | | |
| Total | | | | |

ضریب تبیین تصحیح شده= 0.987

* و ** به ترتیب معنی داری در سطح ۵ و ۱ درصد

جدول ۳- تحلیل کوواریانس تنش عمودی با کشش چرخ در عمق ۰/۱۵ متری

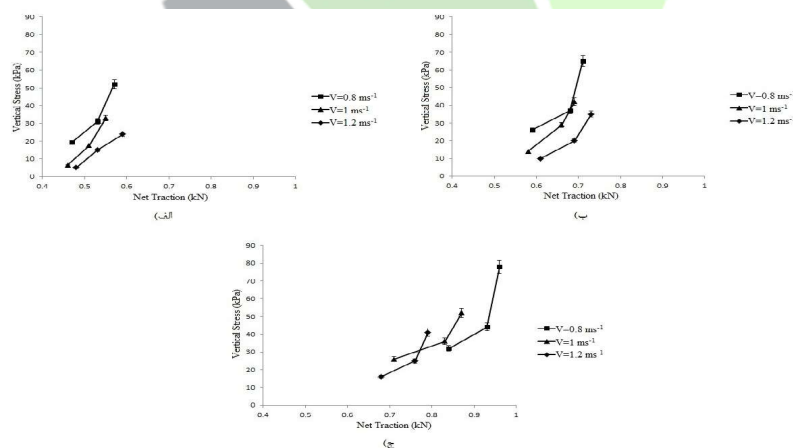
| منبع تغییر | مجموع مربعات | درجه آزادی | میانگین مربعات | P-value |
|-------------------------------|----------------|-------------------|----------------|------------|
| Source of variation | Sum of squares | Degree of freedom | Mean Squares | |
| سرعت | 3685.186 | 2 | 1842.593 | 1059.263* |
| Velocity | | | | |
| بار | 398.719 | 2 | 199.359 | 114.607** |
| Wheel load | | | | |
| لغزش | 4045.299 | 2 | 2022.649 | 1162.773** |
| Slippage | | | | |
| بار×سرعت | 117.855 | 4 | 29.464 | 16.938** |
| Velocity× Wheel load | | | | |
| سرعت×لغزش | 263.031 | 4 | 65.758 | 37.803** |
| Velocity× Slippage | | | | |
| بار×لغزش | 143.242 | 4 | 35.811 | 20.587** |
| Wheel load×Slippage | | | | |
| بار×سرعت×لغزش | 45.731 | 8 | 5.716 | 3.286** |
| Wheel load×Slippage× Velocity | | | | |
| خطا | 92.194 | 53 | 1.740 | |
| Error | | | | |
| کل | 50208.530 | 81 | | |
| Total | | | | |

ضریب تبیین تصحیح شده=0.990

* و ** به ترتیب معنی داری در سطح ۵ و ۱ درصد

با توجه به شکل های ۴، ۵ و ۶ افزایش تنش عمودی با افزایش نیروی کششی قابل ملاحظه است. این روند برای هر سه سطح از عمق آزمایش شده صادق می باشد. افزایش نیروی کشش به عنوان یکی از مهم ترین پارامترهای عملکردی ماشین های کشنده مدنظر می باشد ولی در محدوده ای آزمایشات انجام شده افزایش نیروی کششی منجر به افزایش تنش عمودی می شود که این امر خود از عوامل مهم تاثیرگذار بر ایجاد فشردگی خاک می باشد. بیشترین مقدار تنش بدست آمده با ۷۸ کیلو پاسکال در عمق ۰/۱ متری،

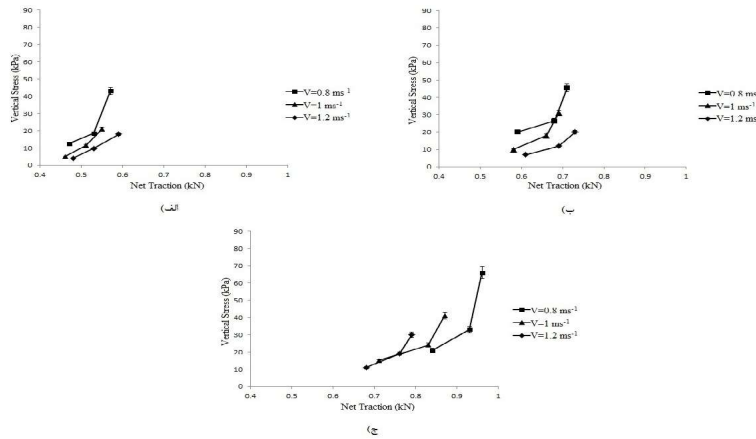
در بار ۴ کیلو نیوتون، سرعت ۰/۸ متر بر ثانیه و لغزش ۱۵٪ بدست آمد. این تیمار بیشترین مقدار افزایش نسبت به لغزش را با ۵۸٪ دارا می‌باشد که تحت تاثیر همین تیمار، بیشترین مقدار نیروی کششی نیز حاصل شد. طبق این مطالعه با افزایش بارگذاری مقدار تنش در هر دو عمق مورد مطالعه افزایش می‌یابد. این افزایش مقدار تنش به دلیل افزایش مقدار نیروی اعمالی به خاک در واحد سطح و کرنش بیشتر ایجاد شده در پروفیل خاک و در نتیجه انتشار تنش بیشتر در خاک بوده است. با افزایش مقدار عمق، انتشار تنش^۱ در عمق خاک دچار کاهش می‌شود و بدین ترتیب تنش‌های اندازه‌گیری شده در عمق ۰/۲ متری کمترین مقدار و ۰/۱ متری بیشترین مقادیر تنش بودند. نتایج مشابهی در مطالعات محققان دیگری نیز گزارش شده است (Schjønning and Lamandé 2010; Pytka, 2005; Pytka et al., 2006; Arvidsson and Keller, 2007; Keller and Lamandé, 2010; Pytka, 2005). افزایش مقدار لغزش، مقدار تنش‌های برشی در سطح تماس افزایش می‌یابد که در عمق‌های بیشتر از سطح تماس، این تنش‌ها به تنش‌های عمودی تبدیل می‌شوند. در هر یک از شکل‌های مذکور بیشترین افزایش تنش عمودی در سرعت ۰/۸ متر بر ثانیه و در لغزش از ۱۲ تا ۱۵٪ اتفاق افتاده است. دلیل این امر را می‌توان در افزایش مدت تماس^۲ در سرعت‌های پایین دانست. از منظر مقاومت مکانیکی خاک نیز با افزایش بار روی چرخ، مقدار نیروی مقاوم برشی با نگه داشتن خاک در بین آج لاستیک، افزایش می‌یابد که باعث افزایش نیروی کششی می‌شود که به نوبت خود باعث افزایش تنش‌های برشی سطحی خاک می‌شود. این تنش‌های برشی در عمق خاک بصورت تنش عمودی اثر خود را نشان می‌دهند که در نتیجه می‌توان افزایش تنش عمودی در عمق با افزایش نیروی کششی را توجیه کرد.



شکل ۴- اثر نیروی کشش بر روی تنش عمودی ایجاد شده در عمق ۰/۱ متری در سرعت‌های مختلف و بارهای (الف) ۲ کیلونیوتون، (ب) ۳ کیلونیوتون و (ج) ۴ کیلونیوتون

¹Stress Propagation

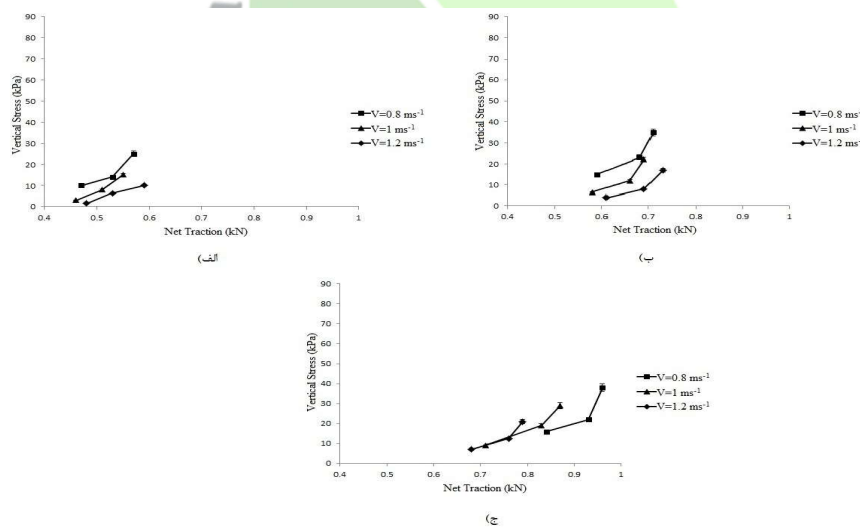
²Contact Duration



شکل ۵- اثر نیروی کشش بر روی تنش عمودی ایجاد شده در عمق ۰/۱۵ متری در سرعت‌های مختلف و بارهای (الف) ۲

کیلونیوتون، (ب) ۳ کیلونیوتون و (ج) ۴ کیلونیوتون

Fig.5. The effect of traction on soil vertical stress in 0.15 m at different velocities and wheel loads of 2, 3, and 4 kN



شکل ۶- اثر نیروی کشش بر روی تنش عمودی ایجاد شده در عمق ۰/۱۵ متری در سرعت‌های مختلف و بارهای (الف) ۲

کیلونیوتون، (ب) ۳ کیلونیوتون و (ج) ۴ کیلونیوتون

نتیجه گیری

در تحقیق حاضر اثر کشش خالص چرخ محرک بر روی تنش عمودی ایجاد شده زیر چرخ مورد مطالعه قرار گرفت. بررسی‌های انجام شده در سطح آماری ۱٪ نشان دادند که نیروی کششی باعث افزایش تنش عمودی زیر چرخ می‌گردد و بیشترین تنش عمودی زیر چرخ با مقدار ۷۸ کیلوپاسکال در عمق ۰/۰ متر مربوط به کشش بیشینه‌ی خالص حاصل شده تحت تأثیر بار ۴ کیلونیوتن، لغزش ۱۵ درصد و سرعت ۰/۸ متر بر ثانیه می‌باشد.

(۱) پارامترهای سرعت، بار روی چرخ و لغزش اثر معنی‌داری بر روی تنش عمودی زیر چرخ داشتند که مقدار تنش عمودی با بار روی چرخ و لغزش رابطه‌ای مستقیم و با سرعت پیشروی رابطه‌ای عکس دارد. همچنین مشاهده شد که مقدار تنش با افزایش عمق دچار کاهش می‌شود.

(۲) پارامترهای لغزش و بار روی چرخ دارای اثر معنی‌داری بر روی نیروی کششی می‌باشند بهنحوی که با افزایش پارامترهای مذکور نیروی کششی افزایش می‌یابد. همچنین مشخص شد که سرعت پیشروی در سطح آماری ۱٪ بر روی نیروی کششی تأثیر ندارد.

(۳) تحلیل کوواریانس نیروی کششی و تنش عمودی زیر چرخ علاوه بر تایید تأثیردار بودن نیروی کششی بر روی تنش عمودی در سطح آماری ۱٪ نشان داد که با افزایش نیروی کشش (به عنوان پارامتری مطلوب) تنش عمودی ایجاد شده (به عنوان پارامتری نامطلوب) دچار افزایش می‌شود که باید مصالحه‌ایین این دو پارامتر برقرار گردد.

منابع

1. Arvidsson, J. and T. Keller. 2007. Soil stress as affected by wheel load and tire inflation pressure. *Soil and Tillage Research*, 96, 284-291.
2. Coutermarsh, B. 2007. Velocity effect of vehicle rolling resistance in sand. *Journal of Terramechanics*, 44(4), 275-291.
3. Keller, T. 2005. A model for the prediction of the contact area and the distribution of vertical stress below agricultural tyres from readily available tyre parameters. *Biosystems engineering*, 92(1), 85-96.
4. Keller, T., M. Lamandé, 2010. Challenges in the development of analytical soil compaction models. *Soil and Tillage Research*, 111(1), 54-64.
5. Mohammadzadeh, H., A. Mardani, A. Modarres Motlagh, 2013. Investigation of the Effects of Tire Inflation Pressure and Forward Speed of Driven Wheel on Horizontal Impact of Passing Rectangular Obstacle. *Journal of Agricultural Machinery*, 3(2), 114-122.
6. Nguyen, V. N., T. Matsuo, S. Inaba, T. Koumoto. 2008. Experimental analysis of vertical soil reaction and soil stress distribution under off-road tires. *Journal of Terramechanics*, 45(1), 25-44.
7. Pytka, J. 2005. Effects of repeated rolling of agricultural tractors on soil stress and deformation state in sand and loess. *Soil and Tillage Research*, 82(1), 77-88.

8. Pytka, J., J.Dąbrowski, M.Zajac,P.Tarkowski, 2006. Effects of reduced inflation pressure and vehicle loading on off-road traction and soil stress and deformation state. *Journal of Terramechanics*, 43(4), 469-485.
9. Sharifi Malvajerdi, A., M. Younesi Alamouti, A. Mohsenimanesh.2013. The Effect of Load and Inflation Pressure of a Stiff-Carcass Tyre on selected Soil Compaction Related Factors. *Journal of Agricultural Machinery*, 3(1), 1-8
10. Schjønning, P., M.Lamandé.2010. A note on the vertical stresses near the soil-tyre interface. *Soil and Tillage Research*, 108(1), 77-82.



Investigating on the effect of tractive parameters on imposed vertical stresses under driving wheel using a soil bin test rig facility

Hamid Taghavifar^{1*}, Aref Mardani¹

1- Ph.D. Candidate, Department of Mechanical Engineering of Biosystems, Urmia University, Iran
Hamid.taghavifar@gmail.com

2- Assistant Professor, Department of Mechanical Engineering of Biosystems, Urmia University, Iran

Abstract

The present study is aimed at investigating the effect of net traction force on the imposed vertical stress under the 220/65R21 driving wheel. Hence, velocity at three levels (i.e. 0.8, 1, 1.2 m/s), wheel load at three levels (i.e. 2, 3, and 4 kN) and slippage at three levels (i.e. 8, 12, and 15%) were considered to obtain traction force and soil vertical stress at three depths of 0.1, 0.15 and 0.2 m. Experiments were carried out in the complete randomized block design with three replicates on clay loam soil at 12% moisture content. The vertical stress was measured using a manufactured soil stress transducer where the net traction was measured using the four horizontally installed load cells between the tester rig and the carriage. A correlation was developed between soil stress and traction force. Results revealed that vertical stress increases with respect to increase of wheel load and slippage, where vertical stress decreases by increase of depth and velocity. Additionally, it was found that wheel load and slippage bring about increased traction force while velocity has no significant effect on traction force at 1% significance level. Finally, it was deduced that increase of traction force results in increase of vertical stress transmission.

Keywords:Driving wheel, Net traction, Slippage, Soil bin, Vertical stress